

Starkniederschlagshöhen und -spenden gemäß KOSTRA-DWD-2020

Rasterfeld 136161

(Zeile 136, Spalte 161)

Regenspende und Bemessungsniederschlagswerte in Abhängigkeit von Wiederkehrzeit T und Dauerstufe D

| Dauerstufe D | | Wiederkehrzeit T | | | | | | | | | | | | | | | | | |
|--------------|-----|------------------|------------|------|------------|------|------------|------|------------|------|------------|-------|------------|-------|------------|-------|------------|-------|------------|
| | | 1 a | | 2 a | | 3 a | | 5 a | | 10 a | | 20 a | | 30 a | | 50 a | | 100 a | |
| min | Std | mm | l / (s ha) | mm | l / (s ha) | mm | l / (s ha) | mm | l / (s ha) | mm | l / (s ha) | mm | l / (s ha) | mm | l / (s ha) | mm | l / (s ha) | mm | l / (s ha) |
| 5 | | 7,0 | 233,3 | 8,8 | 293,3 | 9,9 | 330,0 | 11,4 | 380,0 | 13,4 | 446,7 | 15,6 | 520,0 | 17,0 | 566,7 | 18,8 | 626,7 | 21,4 | 713,3 |
| 10 | | 9,3 | 155,0 | 11,6 | 193,3 | 13,1 | 218,3 | 15,0 | 250,0 | 17,7 | 295,0 | 20,5 | 341,7 | 22,4 | 373,3 | 24,8 | 413,3 | 28,2 | 470,0 |
| 15 | | 10,6 | 117,8 | 13,3 | 147,8 | 14,9 | 165,6 | 17,1 | 190,0 | 20,2 | 224,4 | 23,4 | 260,0 | 25,5 | 283,3 | 28,3 | 314,4 | 32,3 | 358,9 |
| 20 | | 11,6 | 96,7 | 14,5 | 120,8 | 16,3 | 135,8 | 18,6 | 155,0 | 22,0 | 183,3 | 25,5 | 212,5 | 27,8 | 231,7 | 30,8 | 256,7 | 35,2 | 293,3 |
| 30 | | 12,9 | 71,7 | 16,2 | 90,0 | 18,2 | 101,1 | 20,8 | 115,6 | 24,6 | 136,7 | 28,5 | 158,3 | 31,1 | 172,8 | 34,5 | 191,7 | 39,3 | 218,3 |
| 45 | | 14,3 | 53,0 | 17,9 | 66,3 | 20,2 | 74,8 | 23,1 | 85,6 | 27,3 | 101,1 | 31,6 | 117,0 | 34,5 | 127,8 | 38,2 | 141,5 | 43,6 | 161,5 |
| 60 | 1 | 15,4 | 42,8 | 19,2 | 53,3 | 21,6 | 60,0 | 24,7 | 68,6 | 29,3 | 81,4 | 33,9 | 94,2 | 37,0 | 102,8 | 41,0 | 113,9 | 46,7 | 129,7 |
| 90 | 1,5 | 16,9 | 31,3 | 21,1 | 39,1 | 23,7 | 43,9 | 27,2 | 50,4 | 32,1 | 59,4 | 37,3 | 69,1 | 40,6 | 75,2 | 45,0 | 83,3 | 51,3 | 95,0 |
| 120 | 2 | 18,0 | 25,0 | 22,5 | 31,3 | 25,3 | 35,1 | 29,0 | 40,3 | 34,3 | 47,6 | 39,8 | 55,3 | 43,3 | 60,1 | 48,0 | 66,7 | 54,7 | 76,0 |
| 180 | 3 | 19,7 | 18,2 | 24,6 | 22,8 | 27,7 | 25,6 | 31,7 | 29,4 | 37,5 | 34,7 | 43,5 | 40,3 | 47,4 | 43,9 | 52,5 | 48,6 | 59,8 | 55,4 |
| 240 | 4 | 21,0 | 14,6 | 26,2 | 18,2 | 29,5 | 20,5 | 33,8 | 23,5 | 39,9 | 27,7 | 46,3 | 32,2 | 50,4 | 35,0 | 55,9 | 38,8 | 63,7 | 44,2 |
| 360 | 6 | 22,9 | 10,6 | 28,6 | 13,2 | 32,2 | 14,9 | 36,8 | 17,0 | 43,5 | 20,1 | 50,5 | 23,4 | 55,0 | 25,5 | 61,0 | 28,2 | 69,5 | 32,2 |
| 540 | 9 | 24,9 | 7,7 | 31,2 | 9,6 | 35,1 | 10,8 | 40,1 | 12,4 | 47,5 | 14,7 | 55,0 | 17,0 | 60,0 | 18,5 | 66,5 | 20,5 | 75,8 | 23,4 |
| 720 | 12 | 26,5 | 6,1 | 33,1 | 7,7 | 37,3 | 8,6 | 42,7 | 9,9 | 50,5 | 11,7 | 58,5 | 13,5 | 63,7 | 14,7 | 70,6 | 16,3 | 80,5 | 18,6 |
| 1080 | 18 | 28,9 | 4,5 | 36,1 | 5,6 | 40,6 | 6,3 | 46,5 | 7,2 | 55,0 | 8,5 | 63,7 | 9,8 | 69,4 | 10,7 | 76,9 | 11,9 | 87,7 | 13,5 |
| 1440 | 24 | 30,7 | 3,6 | 38,3 | 4,4 | 43,1 | 5,0 | 49,4 | 5,7 | 58,4 | 6,8 | 67,7 | 7,8 | 73,8 | 8,5 | 81,7 | 9,5 | 93,2 | 10,8 |
| 2880 | 48 | 35,4 | 2,0 | 44,3 | 2,6 | 49,9 | 2,9 | 57,1 | 3,3 | 67,5 | 3,9 | 78,3 | 4,5 | 85,3 | 4,9 | 94,5 | 5,5 | 107,7 | 6,2 |
| 4320 | 72 | 38,6 | 1,5 | 48,3 | 1,9 | 54,3 | 2,1 | 62,1 | 2,4 | 73,5 | 2,8 | 85,2 | 3,3 | 92,9 | 3,6 | 102,9 | 4,0 | 117,3 | 4,5 |
| 5760 | 96 | 41,0 | 1,2 | 51,3 | 1,5 | 57,6 | 1,7 | 66,0 | 1,9 | 78,1 | 2,3 | 90,5 | 2,6 | 98,6 | 2,9 | 109,3 | 3,2 | 124,6 | 3,6 |
| 7200 | 120 | 42,9 | 1,0 | 53,7 | 1,2 | 60,4 | 1,4 | 69,2 | 1,6 | 81,8 | 1,9 | 94,8 | 2,2 | 103,3 | 2,4 | 114,5 | 2,7 | 130,5 | 3,0 |
| 8640 | 144 | 44,6 | 0,9 | 55,8 | 1,1 | 62,7 | 1,2 | 71,8 | 1,4 | 85,0 | 1,6 | 98,5 | 1,9 | 107,3 | 2,1 | 118,9 | 2,3 | 135,6 | 2,6 |
| 10080 | 168 | 46,1 | 0,8 | 57,6 | 1,0 | 64,8 | 1,1 | 74,2 | 1,2 | 87,7 | 1,5 | 101,7 | 1,7 | 110,9 | 1,8 | 122,8 | 2,0 | 140,0 | 2,3 |

Starkniederschlagshöhen und -spenden gemäß KOSTRA-DWD-2020

Rasterfeld 136161

(Zeile 136, Spalte 161)

Örtliche Unsicherheiten in Abhängigkeit von Wiederkehrzeit T und Dauerstufe D

| Dauerstufe D | | Wiederkehrzeit T | | | | | | | | |
|--------------|-----|------------------|-----|-----|-----|------|------|------|------|-------|
| | | 1 a | 2 a | 3 a | 5 a | 10 a | 20 a | 30 a | 50 a | 100 a |
| min | Std | ± % | ± % | ± % | ± % | ± % | ± % | ± % | ± % | ± % |
| 5 | | 11 | 11 | 10 | 10 | 11 | 11 | 11 | 11 | 12 |
| 10 | | 10 | 11 | 12 | 13 | 14 | 15 | 15 | 16 | 16 |
| 15 | | 12 | 14 | 15 | 16 | 17 | 18 | 18 | 19 | 19 |
| 20 | | 13 | 15 | 16 | 17 | 19 | 19 | 20 | 20 | 21 |
| 30 | | 15 | 17 | 18 | 19 | 20 | 21 | 22 | 22 | 23 |
| 45 | | 16 | 18 | 19 | 20 | 22 | 22 | 23 | 23 | 24 |
| 60 | 1 | 16 | 18 | 19 | 21 | 22 | 23 | 23 | 24 | 24 |
| 90 | 1,5 | 16 | 18 | 20 | 21 | 22 | 23 | 23 | 24 | 24 |
| 120 | 2 | 16 | 18 | 19 | 21 | 22 | 23 | 23 | 24 | 24 |
| 180 | 3 | 15 | 18 | 19 | 20 | 21 | 22 | 23 | 23 | 24 |
| 240 | 4 | 15 | 17 | 18 | 19 | 21 | 22 | 22 | 23 | 23 |
| 360 | 6 | 14 | 16 | 17 | 19 | 20 | 21 | 21 | 22 | 22 |
| 540 | 9 | 13 | 16 | 17 | 18 | 19 | 20 | 20 | 21 | 22 |
| 720 | 12 | 13 | 15 | 16 | 17 | 18 | 19 | 20 | 20 | 21 |
| 1080 | 18 | 12 | 14 | 15 | 16 | 17 | 18 | 19 | 19 | 20 |
| 1440 | 24 | 12 | 14 | 15 | 16 | 17 | 18 | 18 | 19 | 19 |
| 2880 | 48 | 11 | 13 | 14 | 15 | 16 | 16 | 17 | 17 | 18 |
| 4320 | 72 | 11 | 13 | 13 | 14 | 15 | 16 | 16 | 17 | 17 |
| 5760 | 96 | 11 | 13 | 13 | 14 | 15 | 15 | 16 | 16 | 17 |
| 7200 | 120 | 12 | 13 | 13 | 14 | 15 | 15 | 16 | 16 | 16 |
| 8640 | 144 | 12 | 13 | 13 | 14 | 14 | 15 | 15 | 16 | 16 |
| 10080 | 168 | 12 | 13 | 13 | 14 | 14 | 15 | 15 | 16 | 16 |

Parameter für abweichende T und D

Lokationsparameter ξ (Xi)

15,81500968

Skalenparameter α (Alpha)

5,51627853

Formparameter κ (Kappa)

-0,1

1. Koutsoyiannis-Parameter θ (Theta)

0,03668339

2. Koutsoyiannis-Parameter η (Eta)

0,79117196

Parameter für dauerstufenübergreifende Extremwertschätzung nach KOUTSOYIANNIS et al. 1998.

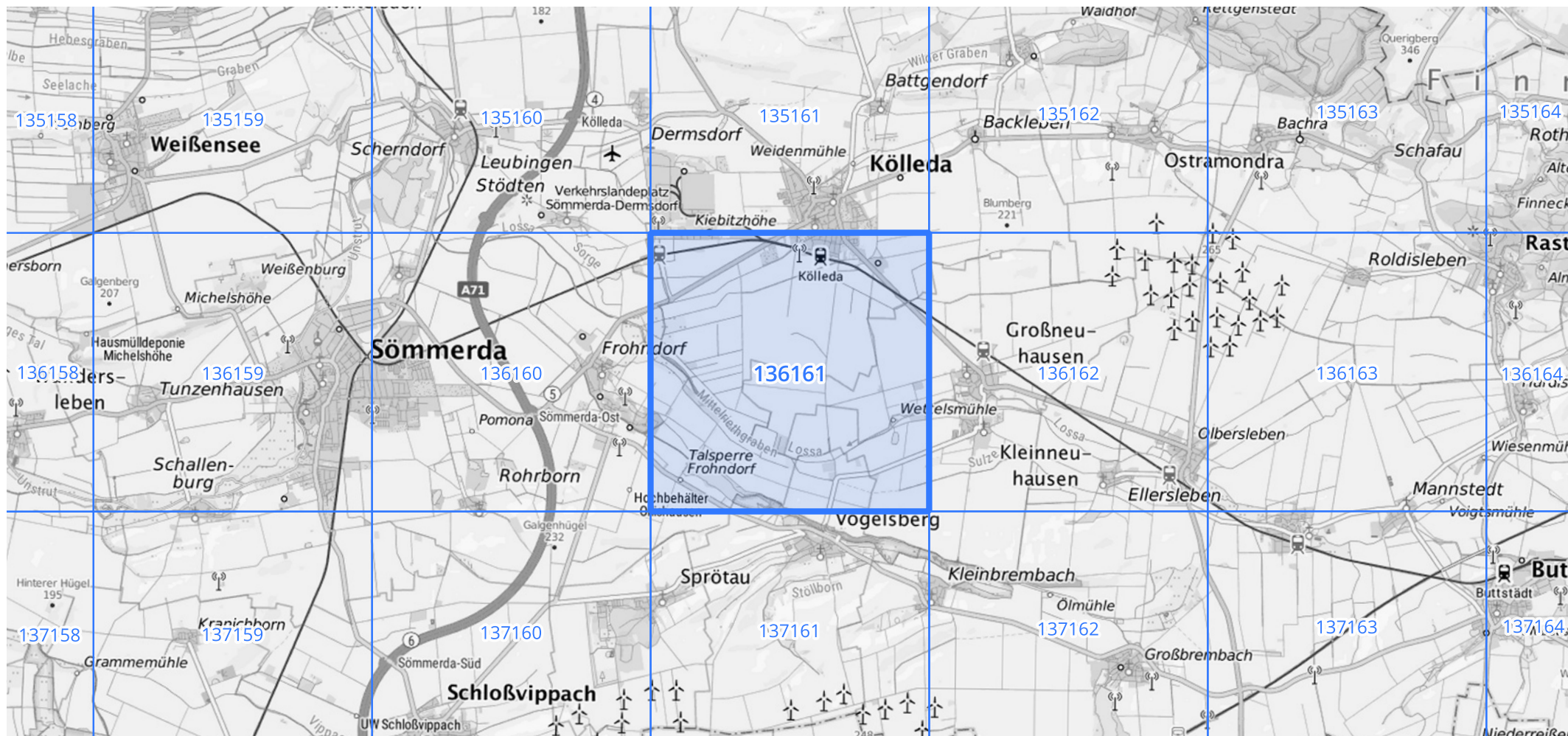
Siehe auch Anwendungshilfe zu KOSTRA-DWD-2020 des Deutschen Wetterdienstes.

Starkniederschlagshöhen und -spenden gemäß KOSTRA-DWD-2020

Rasterfeld 136161

(Zeile 136, Spalte 161)

Übersichtskarte des Rasterfeldes 136161, M 1 : 100 000



Quelle Rasterdaten: KOSTRA-DWD-2020 des Deutschen Wetterdienstes, Stand 12/2022.

Seite 3 von 3

Kartendarstellung: © Bundesamt für Kartographie und Geodäsie (2023), Datenquellen: https://sgx.geodatenzentrum.de/web_public/gdz/datenquellen/Datenquellen_TopPlusOpen.html

Für die Richtigkeit und Aktualität der Angaben wird keine Gewähr übernommen. Erstellt 01/2023.